

УДК 548.537.611.45

©1994

# О НИЗКОТЕМПЕРАТУРНЫХ СВОЙСТВАХ КВАЗИДВУМЕРНЫХ ФРУСТРИРОВАННЫХ АНТИФЕРРОМАГНЕТИКОВ

*P.C. Гехт, В.И. Пономарев*

В квазидвумерных фрустрированных антиферромагнетиках слабое межплоскостное взаимодействие не только стабилизирует модулированную структуру, но и приводит при определенных значениях параметров системы к ее неустойчивости. В результате в промежуточной области изменения этих параметров возможно существование дополнительной фазы (с соизмеримым периодом).

Спиновые системы с фрустрациями проявляют богатое разнообразие фаз и фазовых переходов. Открытие высокотемпературной сверхпроводимости в слоистых оксидах дало новый импульс в исследовании двумерных и квазидвумерных антиферромагнитных систем. Было показано, что совместное влияние фрустраций и квантовых флуктуаций в  $2D$  системах может привести к состояниям с новым типом параметра порядка [1–5]. Неустойчивость исходных структур и возникновение новых состояний могут быть индуцированы дополнительными спинами, расположенными внутри плоской решетки из основных магнитных ионов. Так, для квадратной геометрии с двумя типами спинов было найдено [6], что спин-волновой спектр содержит мягкую линию и вследствие этого происходит вырождение основного состояния относительно непрерывных локальных вращений. Однако моды с нулевой энергией сохраняют ориентацию исходной ( $120^\circ$  или модулированной) структуры на определенных «спиновых гранях» (или «спиновых складках»). Аналогичные локально-вырожденные состояния, как недавно было показано [7], возникают и на Кагоме-решетках, симметрия которых описывается неабелевой гомотопией.

В данной работе мы рассмотрим влияние слабого обмена между основными и дополнительными спинами, расположенными в соседних различного типа плоскостях (соединениях с объемноцентрированной тетрагональной решеткой). Мы учтем влияние не только слабого взаимодействия между спинами в соседних слоях  $J_0$ , но и слабого антиферромагнитного взаимодействия  $J_1 (> 0)$  между спинами в следующих за ближайшими слоях. В отличие от двумерных систем с двумя типами спинов [6] геликоидальная структура в  $2 + 1D$  магнетиках устойчива относительно нулевых колебаний. Однако дополнительное слабое взаимодействие  $J_1$  дестабилизирует исходную модулированную структуру.

ру и приводит при определенных параметрах системы к образованию новой фазы с соизмеримым периодом.

Действительно, энергетический спектр спиновых волн в магнетиках с двумя типами магнитных ионов (с одинаковыми  $S$ ) дается следующим образом:

$$E_{\pm}(\mathbf{k}) = 2JS \left[ (A_{\mathbf{k}} \pm B_{\mathbf{k}}^+)^2 - (C_{\mathbf{k}} \pm B_{\mathbf{k}}^-)^2 \right]^{1/2}.$$

Здесь

$$\begin{aligned} A_{\mathbf{k}} = & \cos k_x (\cos Q_x + 1) + \cos k_y (\cos Q_y + 1) + j_1 \cos 2k_z (\cos 2Q_z + 1) + \\ & + 2j [\cos k_x \cos k_y (\cos Q_x \cos Q_y + 1) + \sin k_x \sin k_y \sin Q_x \sin Q_y] - \\ & - 2(\cos Q_x + \cos Q_y + j_1 \cos 2Q_z + 2j \cos Q_x \cos Q_y + \\ & + 4j_0 \cos(Q_x/2) \cos(Q_y/2) \cos Q_z), \end{aligned}$$

$$\begin{aligned} B_{\mathbf{k}}^+ = & 4j_0 \{ \cos k_z [\cos(k_x/2) \cos(k_y/2) (\cos(Q_x/2) \cos(Q_y/2) \cos Q_z \pm 1) + \\ & + \sin(k_x/2) \sin(k_y/2) \sin(Q_x/2) \sin(Q_y/2) \cos Q_z] + \\ & + \sin k_z \sin Q_z (\sin(k_x/2) \cos(k_y/2) \sin(Q_x/2) \cos(Q_y/2) + \\ & + \cos(k_x/2) \sin(k_y/2) \cos(Q_x/2) \sin(Q_y/2)) \}, \end{aligned}$$

$$\begin{aligned} C_{\mathbf{k}} = & \cos k_x (\cos Q_x - 1) + \cos k_y (\cos Q_y - 1) + j_1 \cos 2k_z (\cos 2Q_z - 1) + \\ & + 2j [\cos k_x \cos k_y (\cos Q_x \cos Q_y - 1) + \sin k_x \sin k_y \sin Q_x \sin Q_y], \end{aligned}$$

где  $Q$  — волновой вектор геликоидальной структуры;  $j = J'/J$ ;  $J$  и  $J'$  — антиферромагнитные взаимодействия в слое между ближайшими спинами вдоль стороны квадрата и следующими за ближайшими вдоль диагонали квадрата соответственно;  $j_0 = J_0/J$ ;  $j_1 = J_1/J$ . Модулированная структура  $(0, Q, 0)$ , характеризуемая волновым вектором  $Q = 2 \arccos \gamma$ , где  $\gamma = -j_0/(1 + 2j)$ , возникает при  $j > 0.5$ . В длинноволновом пределе нижняя ветвь  $E_+(\mathbf{k})$  ее спектра возбуждений имеет следующий вид:

$$\begin{aligned} E_+(\mathbf{k}) &= 4JS(uv)^{1/2}, \\ u &= \left( 1 + 2j + 4|j_0| + \frac{j_0^2}{1 + 2j} \right) \left( 1 - \frac{j_0^2}{(1 + 2j)^2} \right), \\ v &= (2j - 1)k_x^2 + (2j + 1)k_y^2 + 4 \left( \frac{j_0^2}{1 + 2j} - j_1 \right) k_z^2. \end{aligned}$$

При малых  $j_0$  и  $j_1$  дополнительное смягчение мод вблизи  $k_z = 0$  реализуется по мере уменьшения  $j_0$  и приближения к критическому значению  $j_{0,k} = \pm(j_1(1 + 2j))^{1/2}$ . Одновременно с этим происходит и смягчение моды с  $\mathbf{k} = (0, \pi, \pi/2)$  (рис. 1, а). Таким образом, при  $j_1 \neq 0$  несоразмерная фаза  $Q = (0, Q, 0)$  неустойчива относительно образования новой фазы с  $Q = (0, \pi, \pi/2)$  в области  $|j_0| < (j_1(1 + 2j))^{1/2}$  ( $j > 0.5$ ). Спектр возбуждений последней при  $k_x = k_z = 0$  представлен на рис. 1, б.

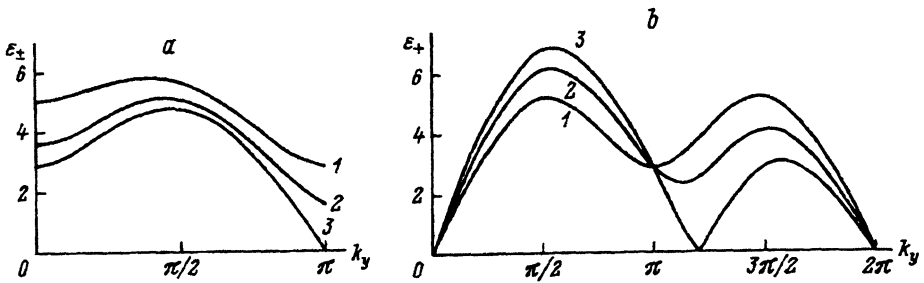


Рис. 1. Спектры возбуждений  $\epsilon_+(\mathbf{k}) = E_+(\mathbf{k})/2JS$  от  $k_y$  при  $j = 0.6$ ,  $j_1 = 0.1$ .  
 а —  $\epsilon_+(\mathbf{k})$  фазы  $(0, Q, 0)$ ,  $k_x = 0$ ,  $k_z = \pi/2$ ;  $j_0 = 0.8$  (1), 0.6 (2), 0.48 (3); б —  $\epsilon_+(\mathbf{k})$  фазы  $(0, \pi, \pi/2)$ ,  $k_x = k_z = 0$ ;  $j_0 = 0$  (1), 0.2 (2), 0.48 (3).

С увеличением  $j_0$  он смягчается и при достижении  $j_0 = j_{0,k}E_+(\mathbf{k})$  обращается в нуль не только в симметричных точках  $k_y = 0, \pi$ , но (как и должно быть) и при  $k_y = 2\arccos\gamma_k$  ( $\gamma_k = -j_{0,k}/(1+2j)$ ).

Квантовое сокращение спина  $\Delta S$  и тепловые флюктуации  $\Delta S(T)$ , даваемые соотношениями ( $\langle S_i \rangle = S - \Delta S - \Delta S(T)$ )

$$\Delta S = 0.25 \left[ \frac{JS}{(2\pi)^3} \left( \int \frac{A_{\mathbf{k}} + B_{\mathbf{k}}^+}{E_+(\mathbf{k})} d\mathbf{k} + \int \frac{A_{\mathbf{k}} - B_{\mathbf{k}}^+}{E_-(\mathbf{k})} d\mathbf{k} \right) - 1 \right],$$

$$\Delta S(T) = 0.5 \frac{JS}{(2\pi)^3} \left( \int \frac{A_{\mathbf{k}} + B_{\mathbf{k}}^+}{E_+(\mathbf{k})} \langle n_{\mathbf{k}}^+ \rangle d\mathbf{k} + \int \frac{A_{\mathbf{k}} - B_{\mathbf{k}}^+}{E_-(\mathbf{k})} \langle n_{\mathbf{k}}^- \rangle d\mathbf{k} \right),$$

$$\langle n_{\mathbf{k}}^+ \rangle = [\exp(E_{\pm}(\mathbf{k})/T) - 1]^{-1},$$

представлены для  $j = 0.6$ ,  $j_1 = 0.1$  и  $t = T/2JS = 0.1$  на рис. 2, а. Как видно, квантовые флюктуации в отличие от 2D систем [6] конечны во всей области изменения  $j_0$ , причем на границе областей существования фаз  $\Delta S$  меняется скачком; тепловые флюктуации при  $t = 0.1$  меньше

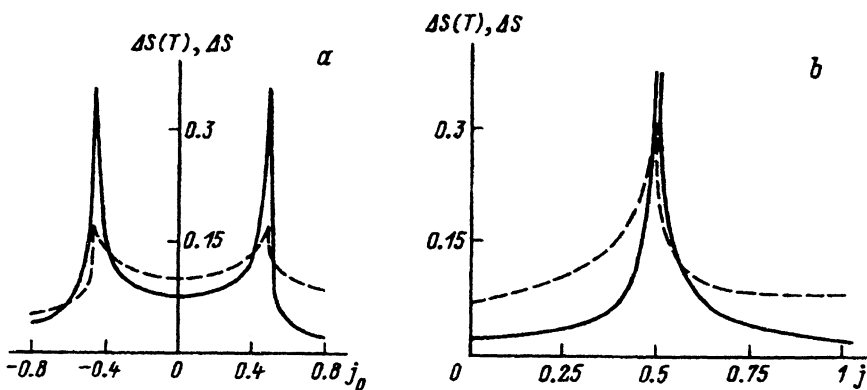


Рис. 2. Тепловые  $\Delta S(T)$  и квантовые  $\Delta S$  флюктуации при  $j_1 = 0.1$ ,  $t = 0.1$ .  
 Сплошная линия —  $\Delta S(T)$ , штриховая —  $\Delta S$ . а —  $\Delta S(T)$  и  $\Delta S$  от  $j_0$  при  $j = 0.6$ , б —  $\Delta S(T)$  и  $\Delta S$  от  $j$  при  $j_0 = 0.05$ .

квантовых, однако вблизи границ с соседними фазами резко возрастают. В новой симметричной фазе  $(0, \pi, \pi/2)$

$$\Delta S(T) \sim \frac{t}{j - 0.5} \ln \left( \frac{t}{(2j_1)^{1/2}} \right),$$

т.е. тепловые флуктуации возрастают не только с уменьшением  $j_1$ , но и по мере уменьшения  $j$ . На рис. 2, б представлены тепловые и квантовые флуктуации в зависимости от  $j$  при  $j_1 = 0.1$ ,  $j_0 = 0.05$ ,  $t = 0.1$ . В точке  $j = 0.5$  тепловые флуктуации расходятся не только при  $j_0 = 0$ , но и при всех  $|j_0| < (2j_1)^{1/2}$ . Данное обстоятельство обусловлено тем фактом, что спектр  $E_{\pm}(k_x, \pi, \pi/2)$  обращается в нуль для любых значений  $k_x$ . Отметим: при  $j < 0.5$  и  $j \neq 0$  неелевская фаза  $(\pi, \pi, \pi/2)$  имеет в классике, как и при  $j = 0$  [8], нетривиальное глобальное вырождение, связанное с поворотом на произвольный угол структур в соседних плоскостях.

Таким образом, в фрустированных магнетиках с двумя типами спинов, расположеннымими в различных соседних плоскостях, дополнительные слабые взаимодействия не только стабилизируют исходные структуры, но и при определенных значениях параметров системы разрушают их, образуя новые устойчивые конфигурации.

Работа выполнена при финансовой поддержке Красноярского краевого фонда науки, грант 1F 0047.

#### Список литературы

- [1] Affleck I., Kennedy T., Lieb E., Tasaki H. // Commun. Math. Phys. 1988. V. 115. N 2. P. 477–489.
- [2] Wen X.G., Wilczek F., Zee A. // Phys. Rev. B. 1989. V. 39. N 16-A. P. 11413–11427.
- [3] Chandra P., Coleman P., Larkin A. // J. Phys.: Condens. Matter. 1990. V. 2. N 39. P. 7933–7972.
- [4] Гехт Р.С. // УФН. 1989. Т. 159. С. 261–295.
- [5] Gekht R.S., Ponomarev V.I. // Phase transitions. 1990. V. A20. N 1,2. P. 27–71.
- [6] Гехт Р.С., Гришин В.В. // ФТТ. 1992. Т. 34. № 11. С. 3557–3559.
- [7] Chandra P., Coleman P., Ritchey I. // J. Physique. 1993. V. 3. N 2. P. 591–610.
- [8] Rastelli E., Sedazzary S., Tassi A. // J. Phys.: Condens. Matter. 1990. V. 2. N 45. P. 8935–8944.

Институт физики им. Л. В. Киренского СО РАН  
Красноярск

Поступило в Редакцию  
23 декабря 1993 г.  
В окончательной редакции  
10 мая 1994 г.